

小角散乱における 施設横断測定の見討

あいちシンクロトロン光センター 杉山信之

経緯・目的

光ビームプラットフォームによる施設連携の一環で、さまざまな計測手法について施設横断測定が行われている。
今年度、小角散乱測定についても同様に施設横断測定を行った。

施設横断測定の目的

- ◆ 参加ビームラインで小角散乱測定及び解析が同様に行えることを確認する
- ◆ 各ビームラインで目的の解析ができるqレンジ・濃度等を把握する
- ◆ ビームラインの横断利用をさらに促進する

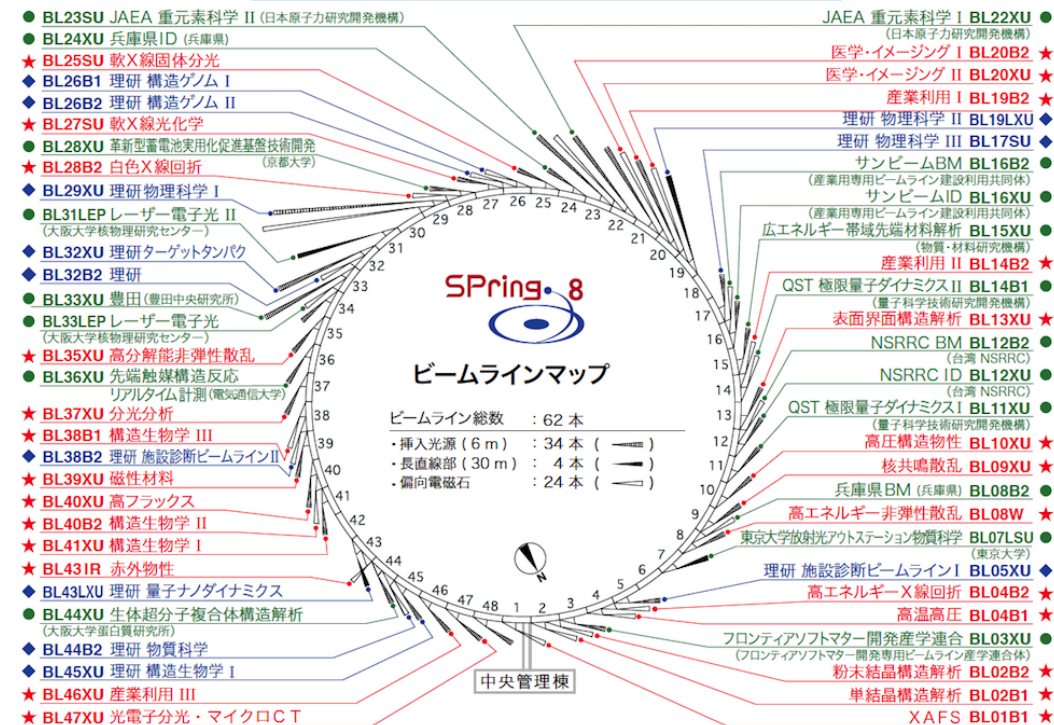
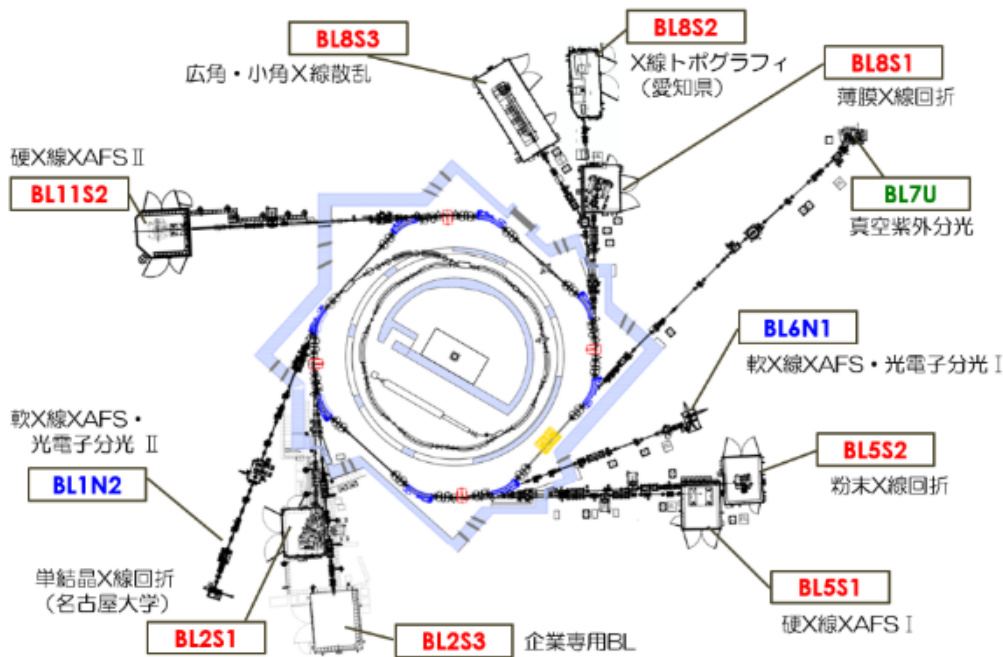


- ・実験データの互換性を図る
- ・ユーザーサービスの向上
- ・ビームラインの横断利用を促進する

参加BeamLine

AichiSR BL8S₃ 広角・小角X線散乱

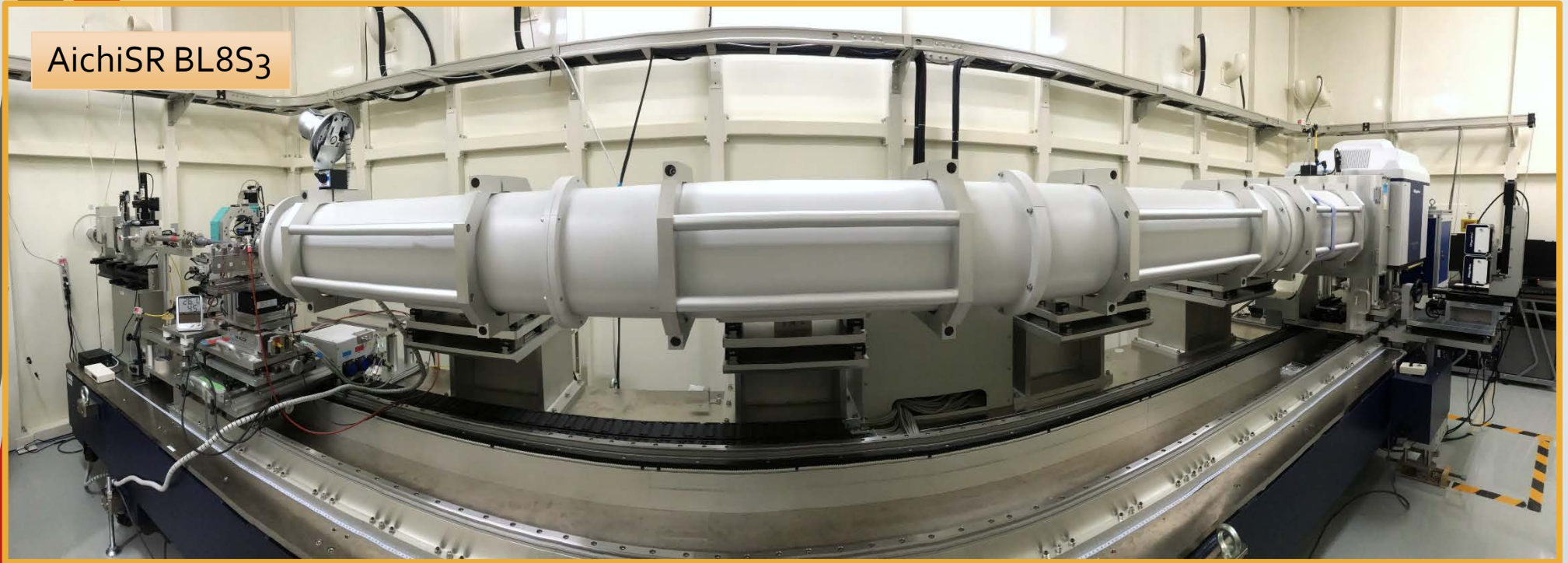
SPring-8 BL19B₂ 産業利用



BL選定の理由
 小角散乱BLのうち、産業利用に強いBLで施設横断測定を行い、ユーザーの利便性の向上を図るため

BL8S3

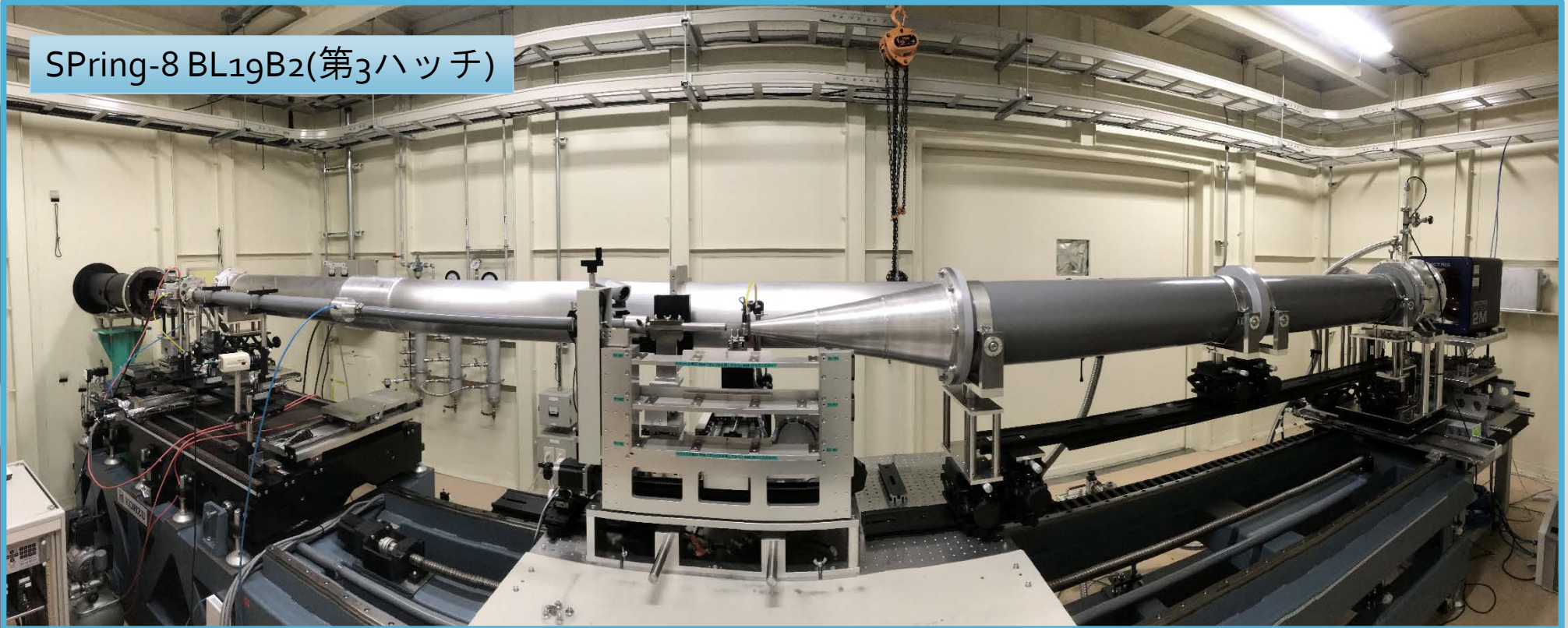
AichiSR BL8S3



X線小角散乱法により、分子薄膜や繊維など、主に有機・高分子材料の構造を解析する。数オングストロームから約100ナノメートルまでの範囲の構造の測定が可能。自動読取イメージングプレート検出器(R-AXIS IV⁺⁺)と二次元半導体検出器(PILATUS 100K)を備え、高精度静的測定と時分割測定を可能とする。さらにフラットパネル検出器を併設することで小角と広角の同時測定を可能とする。他、サンプルチェンジャーを備え測定効率化も実現。カメラ長は最大4mとし、試料位置に自由度を持たせることでユーザー持ち込みの大型な試料環境装置にも対応する。

BL19B2

SPring-8 BL19B2(第3ハッチ)



BL19B2の小角X線散乱装置の特徴は、最長42mを実現できるカメラ長の長さにある。検出器は大型ピクセル検出器PILATUS2Mを用いており、第3ハッチの最下流に設置している。その第3ハッチ内の検出器上流側にサンプルを設置することで、通常の0.7~3mのカメラ長の小角X線散乱(SAXS)測定を実施することが可能であるが、第2ハッチにサンプルを設置することでカメラ長42mの極小角X線散乱(USAXS)測定装置を構成することが可能である。使用可能なX線エネルギーは15~30keV、X線エネルギー=18keVの時、測定可能なqレンジはSAXS(カメラ長=3mの時): $q=0.06\sim 3\text{nm}^{-1}$ 、USAXS: $q=0.005\sim 0.2\text{nm}^{-1}$ である。SAXS⇔USAXSのレイアウト変更は約2時間で可能である。自動試料交換ロボットHummingbirdを導入しており、自動試料交換による高効率な測定の実施も可能である。

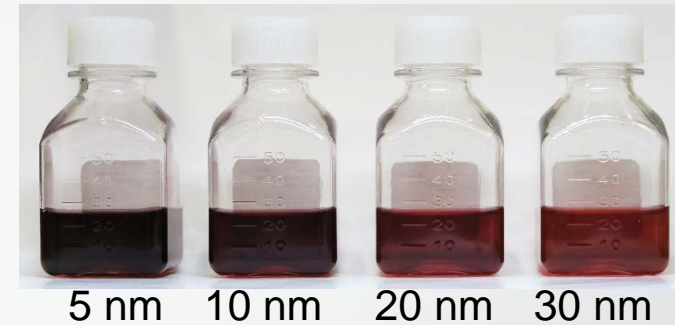
実験条件

	SPring-8 BL19B2	SPring-8 BL19B2	AichiSR BL8S3
実験内容	USAXS	SAXS	SAXS
カメラ長	40840 mm	3045 mm	4016 mm
X線エネルギー	18 keV	18 keV	13.5 keV
検出器	PILATUS 2M	PILATUS 2M	PILATUS 100K(Dual)
ピクセル数 (H×V)	1475×1679	1475×1679	195×487(×2)
ピクセルサイズ	0.172 mm	0.172 mm	0.172 mm
ビームサイズ @検出器(H×V)	0.8 mm×0.5 mm	0.5 mm×0.5 mm	0.8 mm×0.4 mm
校正用試料	コラーゲン	ベヘン酸銀	コラーゲン
測定日	2018年8月2日	2018年8月2日	2018年11月16日
露光時間	300 s	60 s	300 s

試料及び測定手法

単分散Auコロイド溶液 Sigma-Aldrich製

平均粒子径	粒子濃度(g/mL)	測定
5 nm	6.95×10^{-5}	SAXS
10 nm	6.05×10^{-5}	SAXS
20 nm	5.29×10^{-5}	SAXS
30 nm	4.89×10^{-5}	SAXS
100 nm	3.88×10^{-5}	USAXS
200 nm	1.54×10^{-4}	USAXS



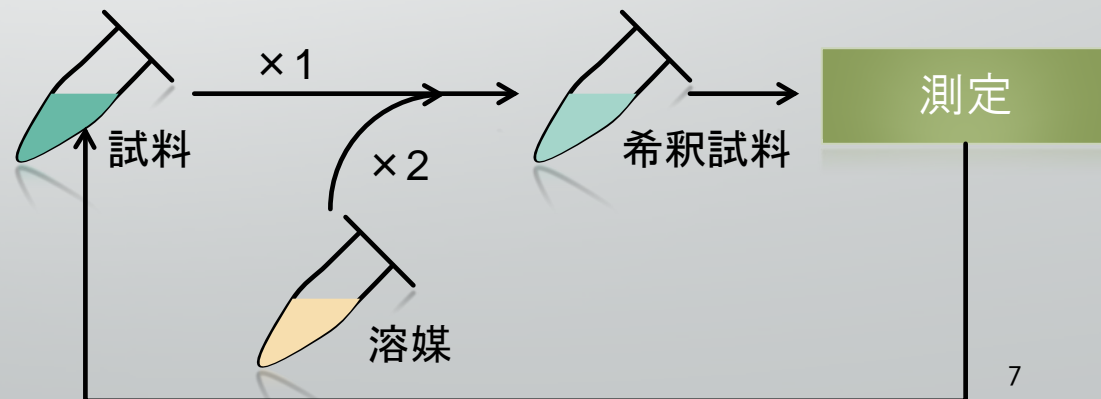
すべて球状
CV < 10%

使用した溶液セル (30 × 15 × 5 mm)



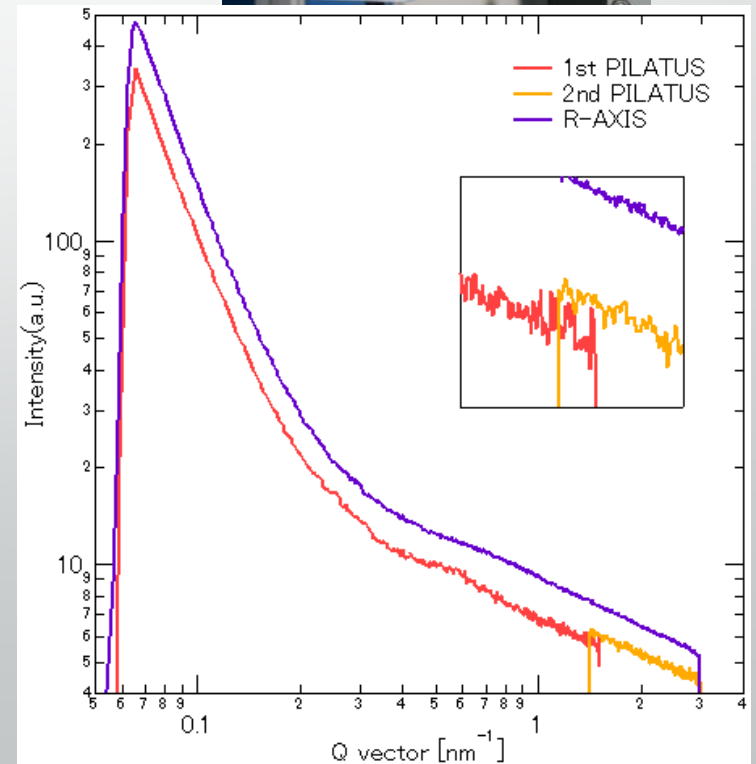
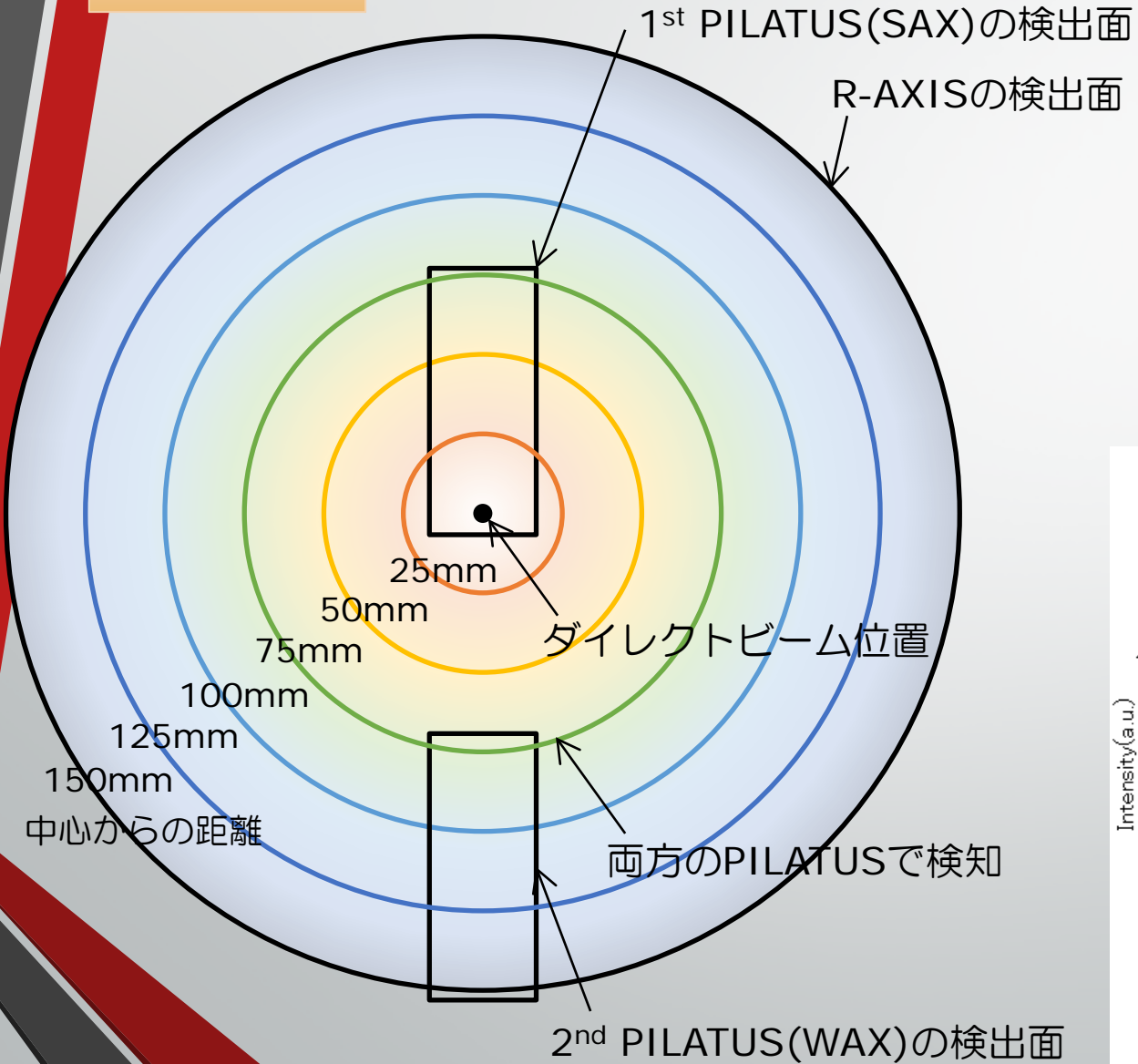
光路長 3 mm
窓材: 人工マイカ (厚さ 20 μm)

測定手法



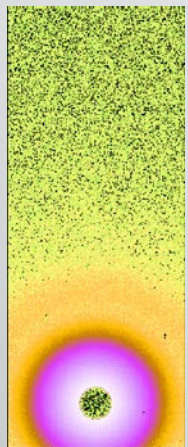
Dual PILATUS

BL8S₃ SAXS

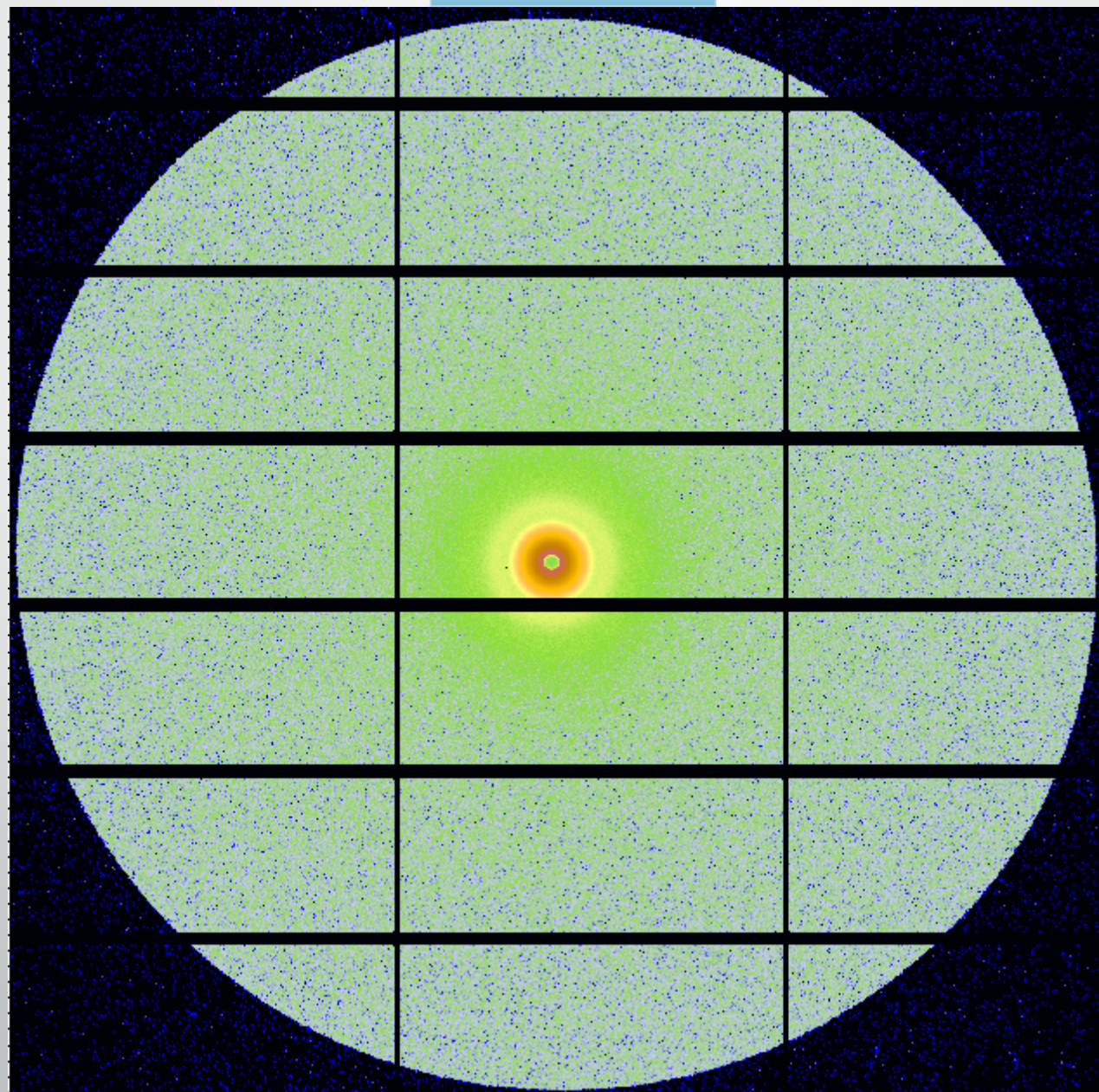


二次元画像

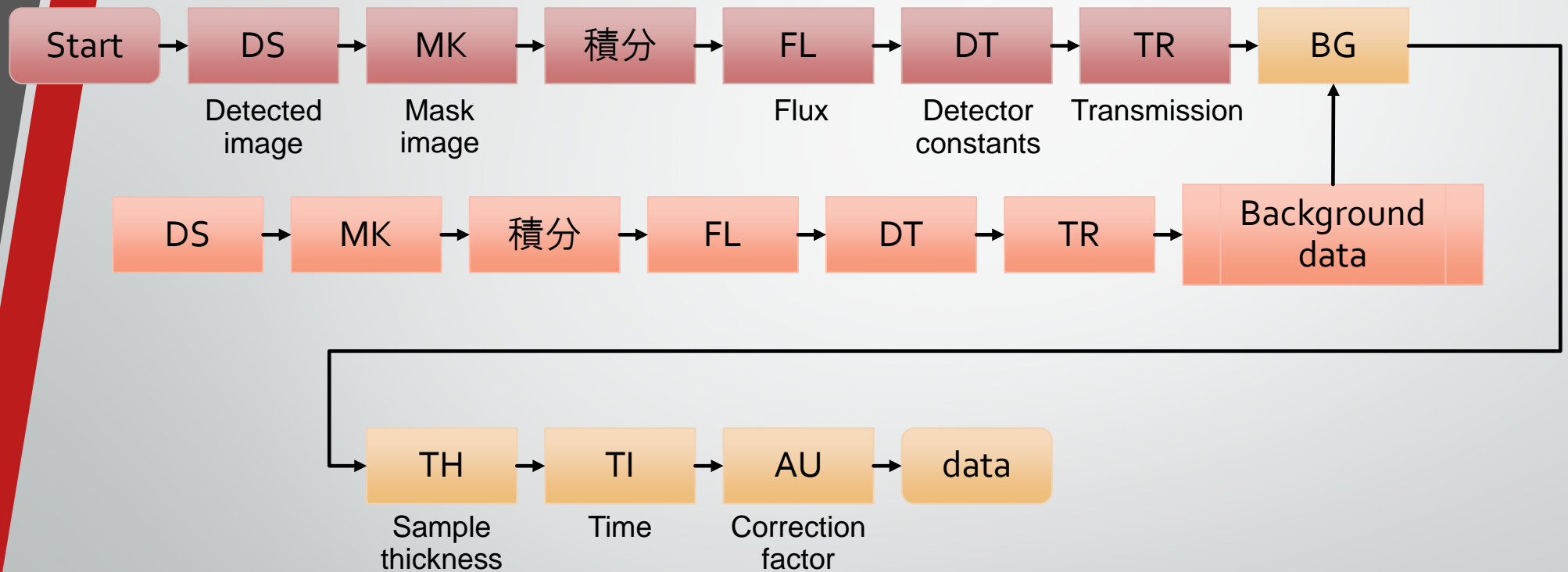
BL8S₃ SAXS



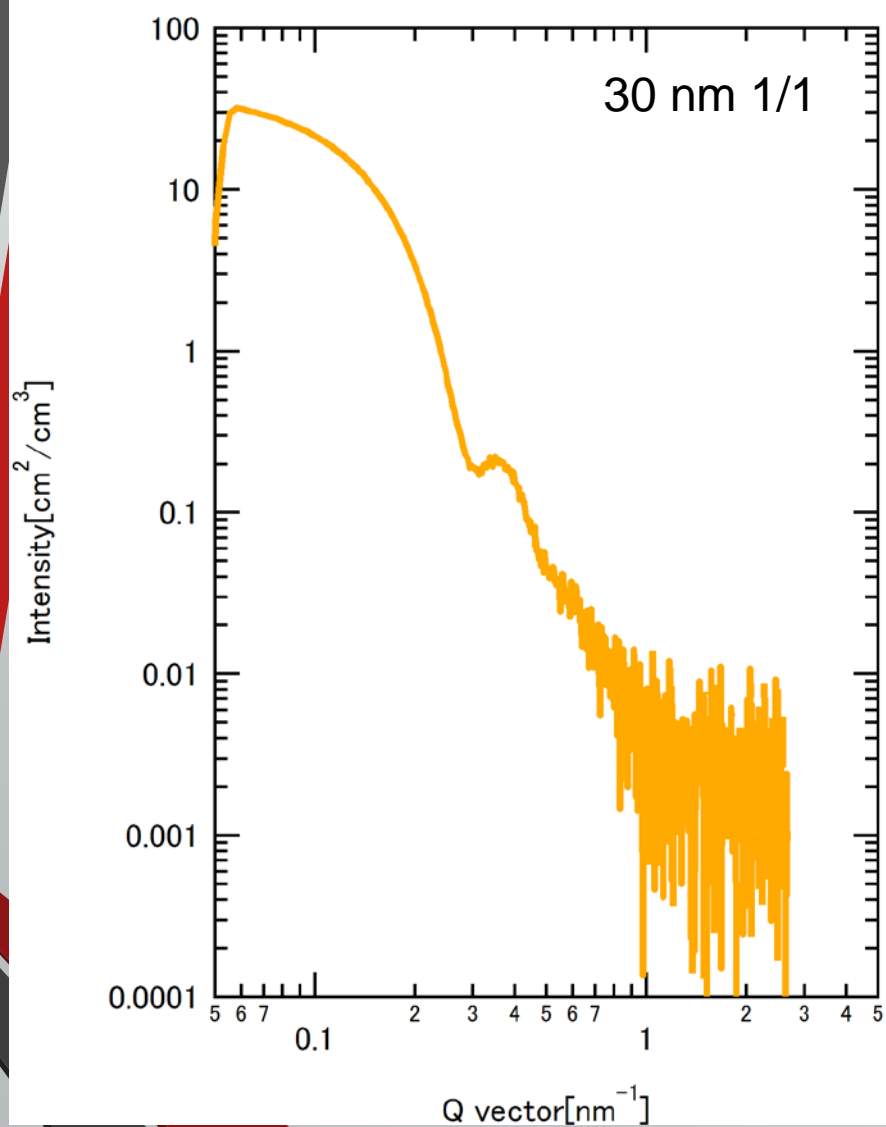
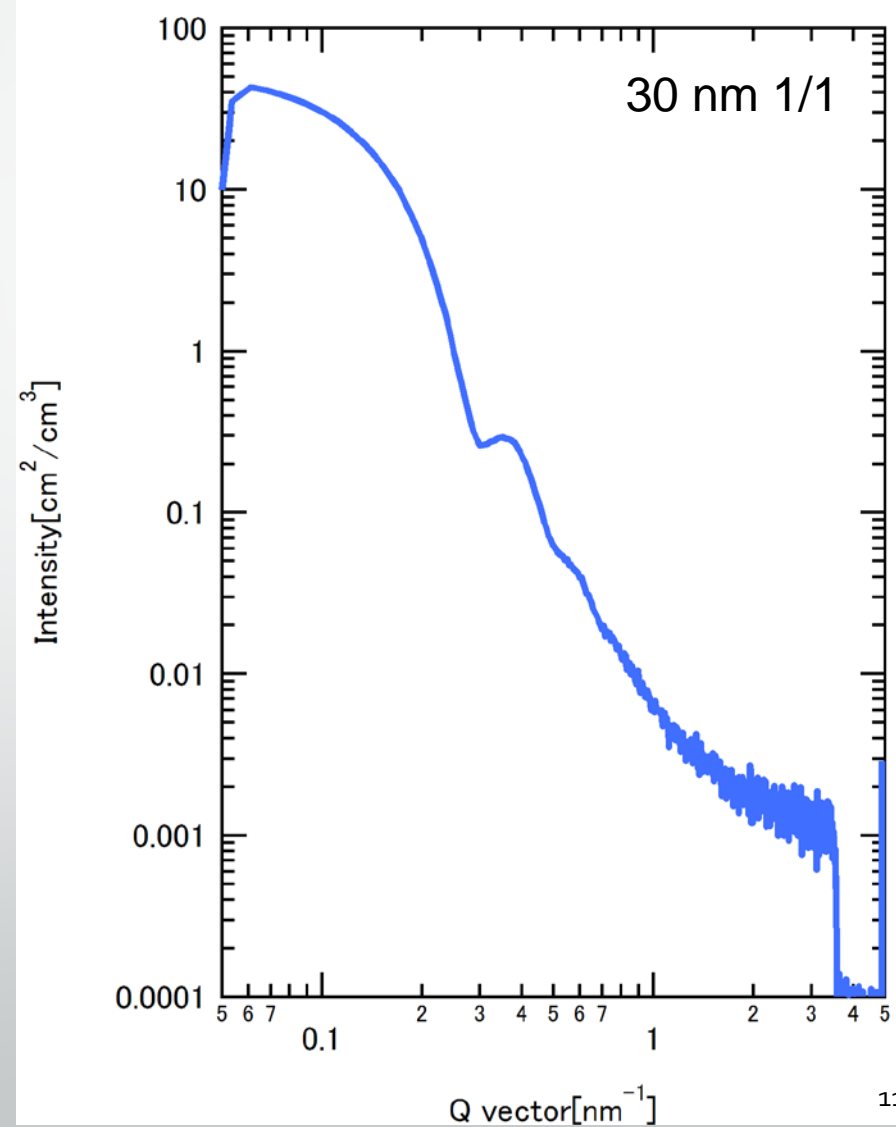
BL19B₂ SAXS



今回の解析手順



一次元化

BL8S₃ SAXSBL19B₂ SAXS

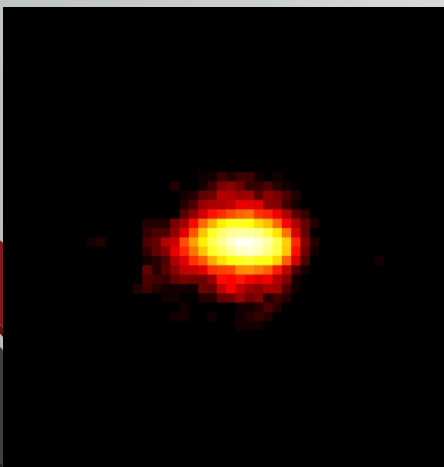
波数分解能の試算

	BL8S3	BL19B2 SAXS	BL19B2 USAXS
ビームサイズdr(mm)	0.6333	0.47855	0.6333
カメラ長L(mm)	4016.4	3045	40840
波長λ(nm)	0.092	0.0689	0.0689
波数分解能σ _q (nm ⁻¹)	0.0108	0.0143	0.00141

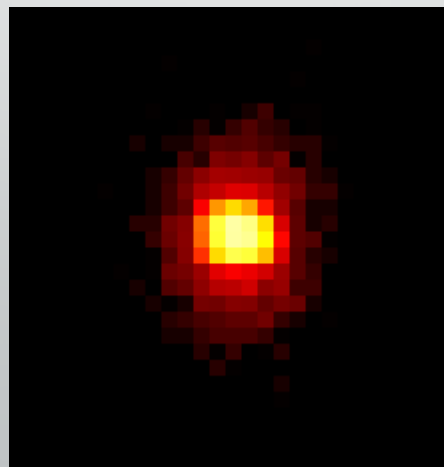
$$\text{角度分解能 } \sigma_{2\theta} = \frac{dr}{L}$$

$$\text{波数分解能 } \sigma_q = \sqrt{\left(\frac{4\pi}{\lambda}\right)^2 - q^2} \cdot \left(\frac{\sigma_{2\theta}}{2}\right)$$

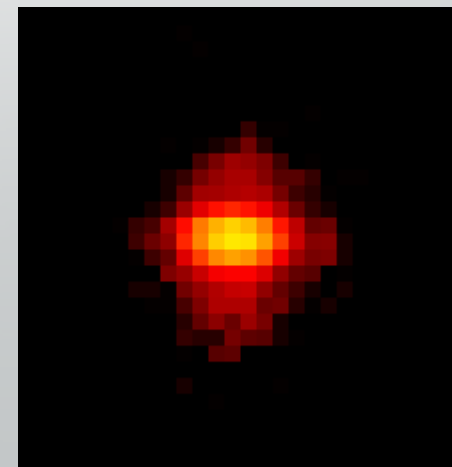
BL8S3



BL19B2@SAXS



BL19B2@USAXS



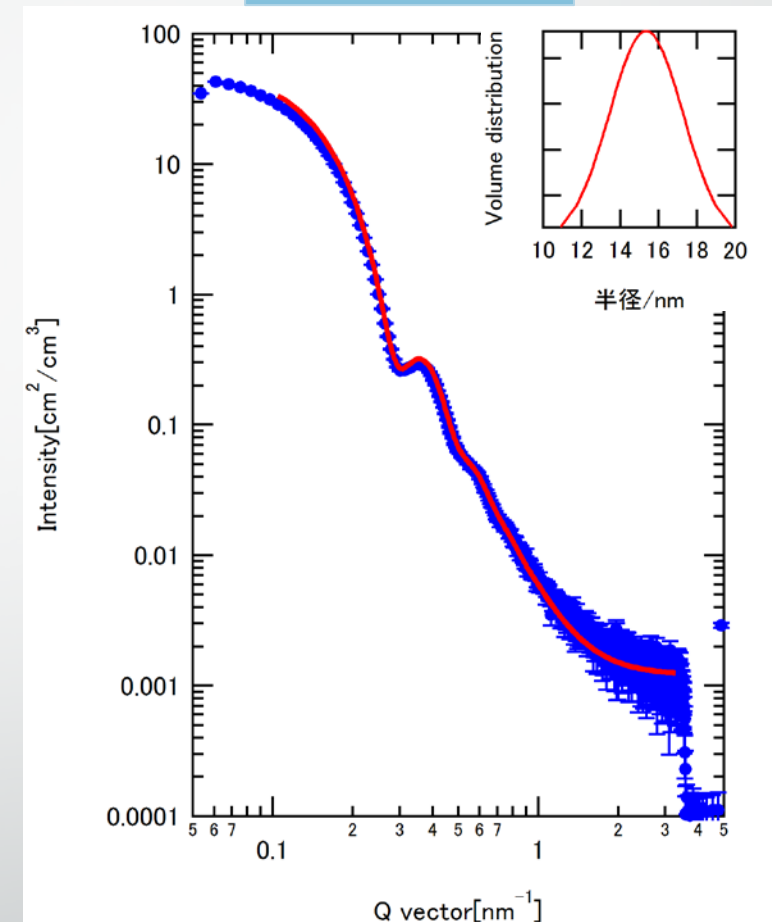
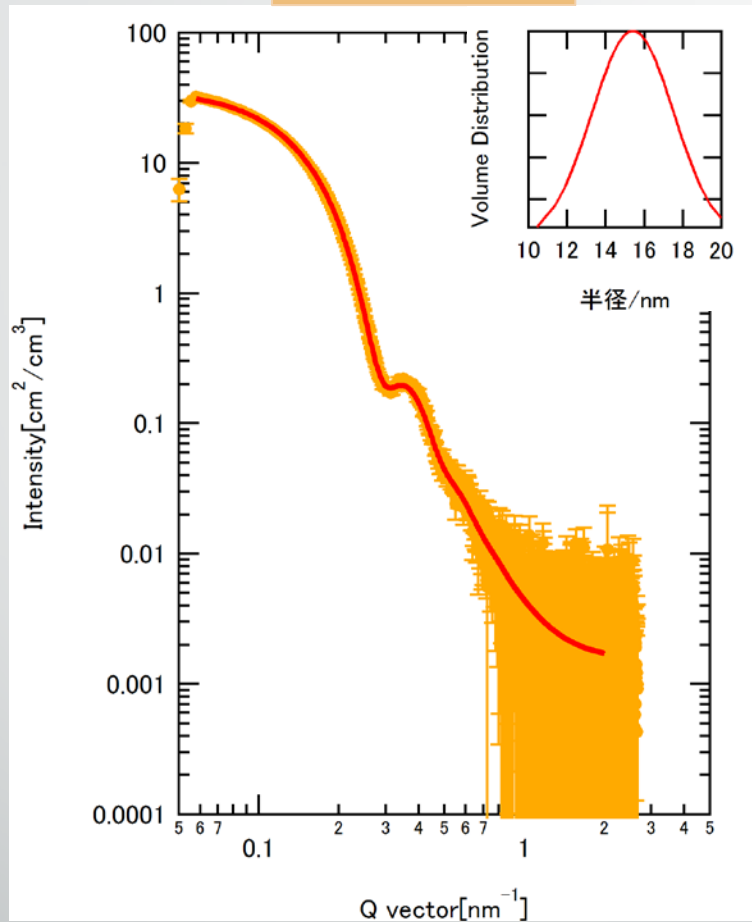
モデルフィッティング

30 nm(1/1)

BL8S₃ SAXSBL19B₂ SAXS

解析条件

球状
希釈系
ガウス分布

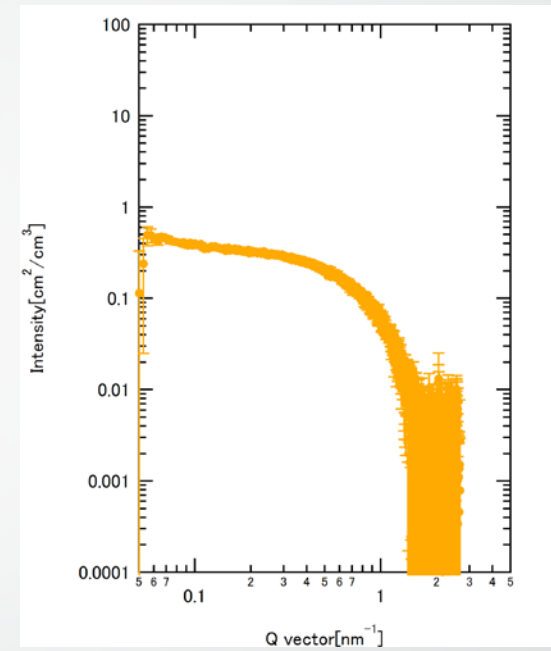
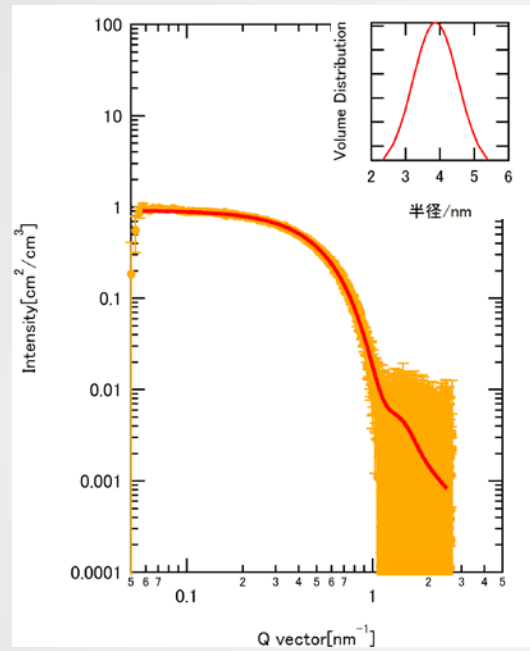
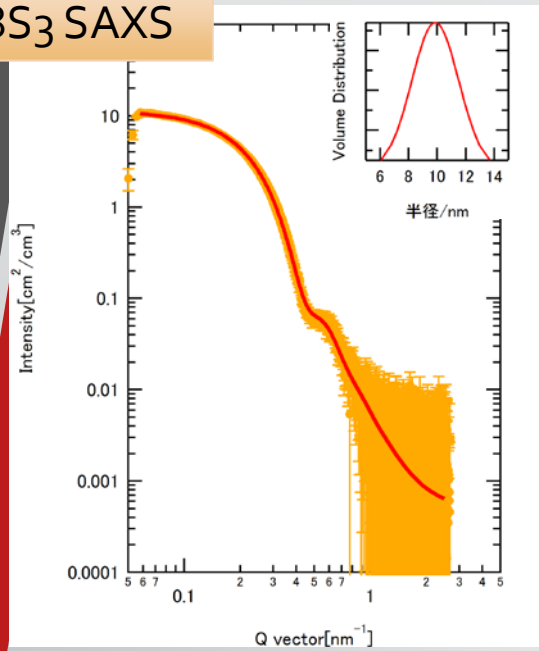


解析結果

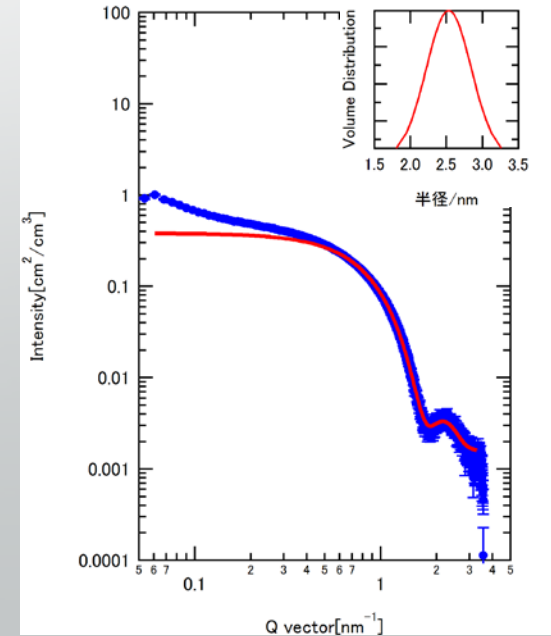
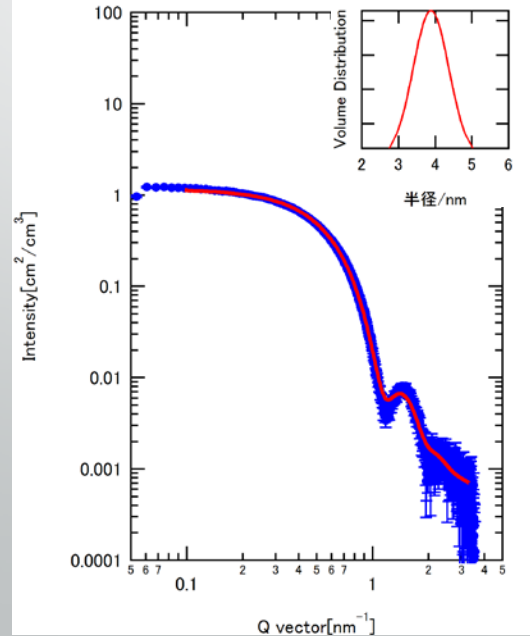
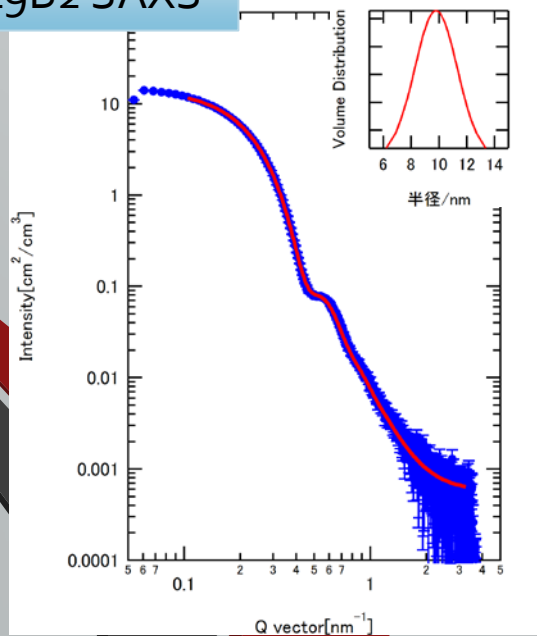
	平均粒子半径(nm)	FWHM(nm)	Scale
BL19B ₂	15.31	4.9	0.0018829
BL8S ₃	15.38	5.0	0.0013762

20nm、10nm、5nmでの結果

BL8S3 SAXS



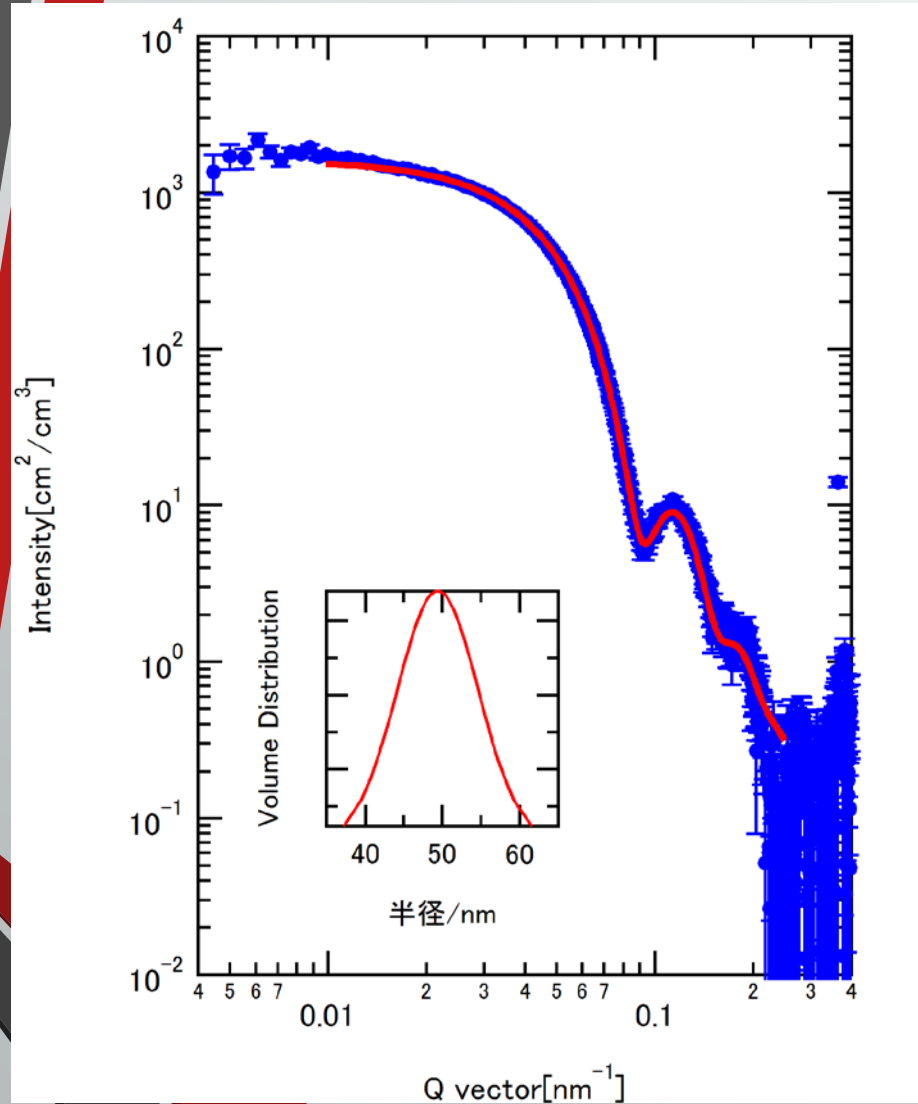
BL19B2 SAXS



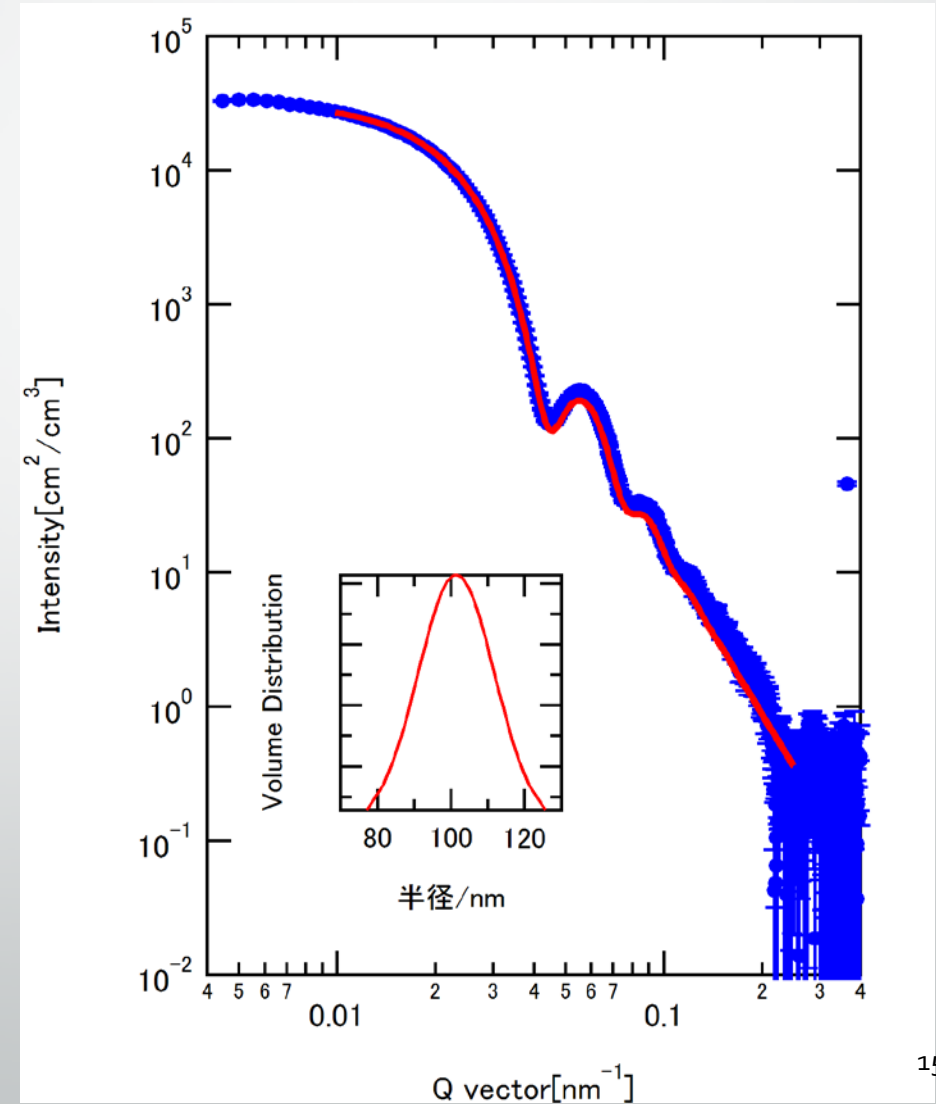
USAXSでの測定結果

BL19B2 USAXS

100 nm 1/1

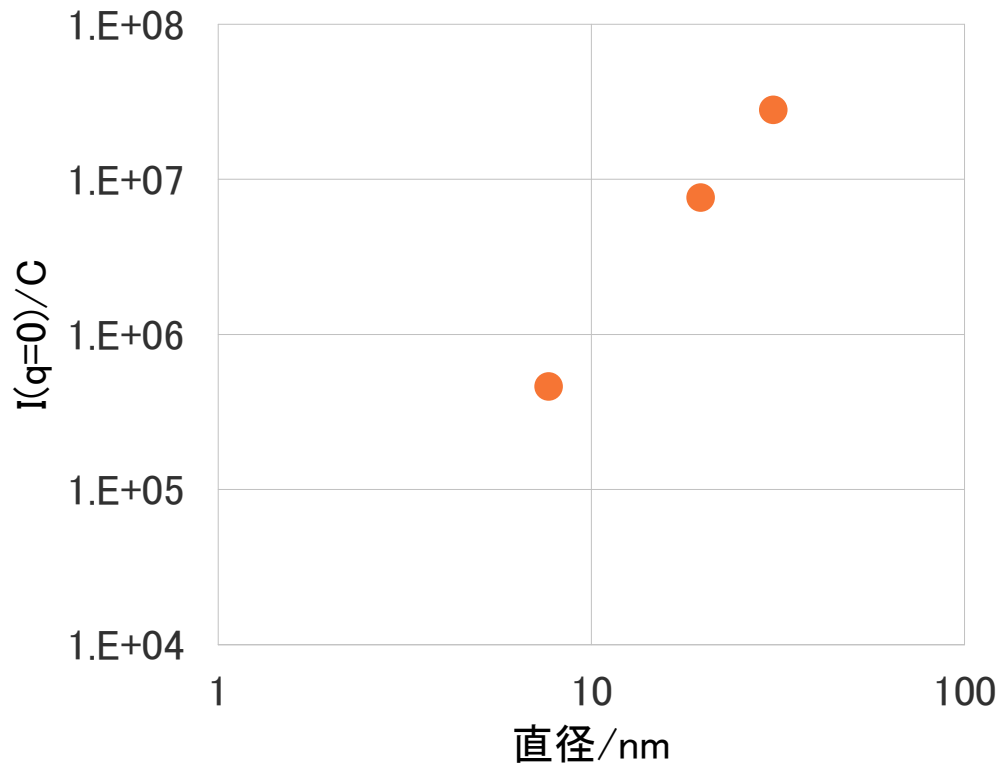


200 nm 1/1



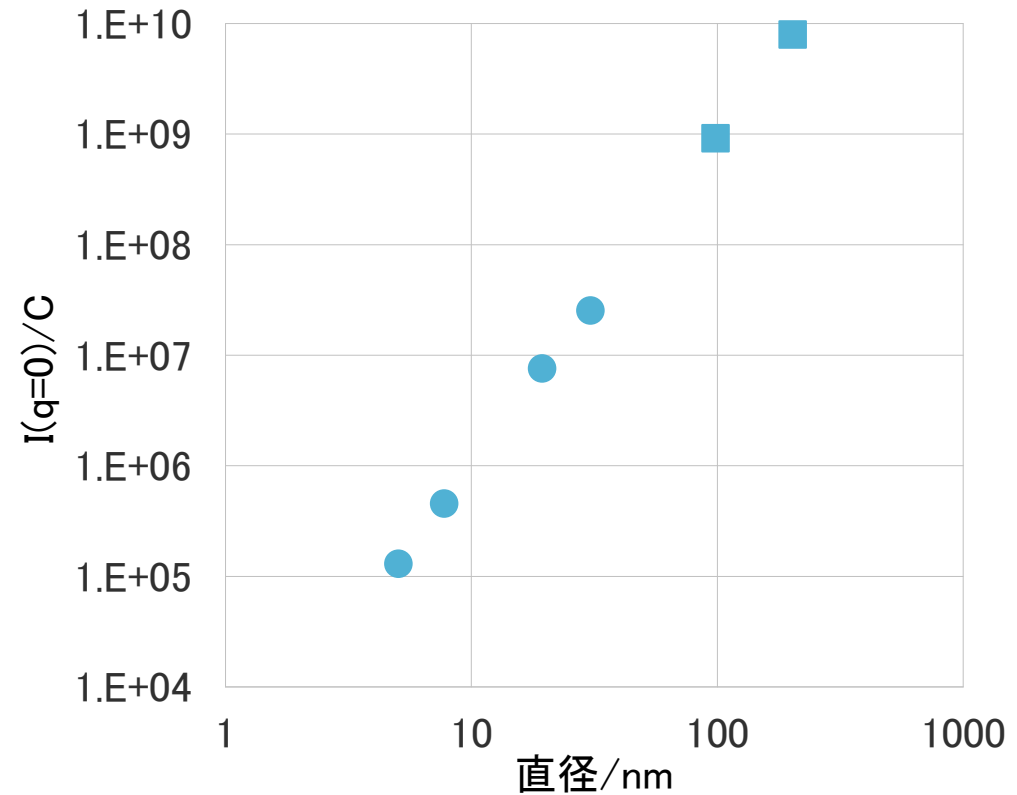
粒子サイズと散乱強度

BL8S3 SAXS



$$I(q=0)/C = 1080.4D^{2.968}$$

BL19B2 SAXS & USAXS



$$I(q=0)/C = 1005.4D^{2.985}$$

散乱強度は粒子サイズの6乗に比例する

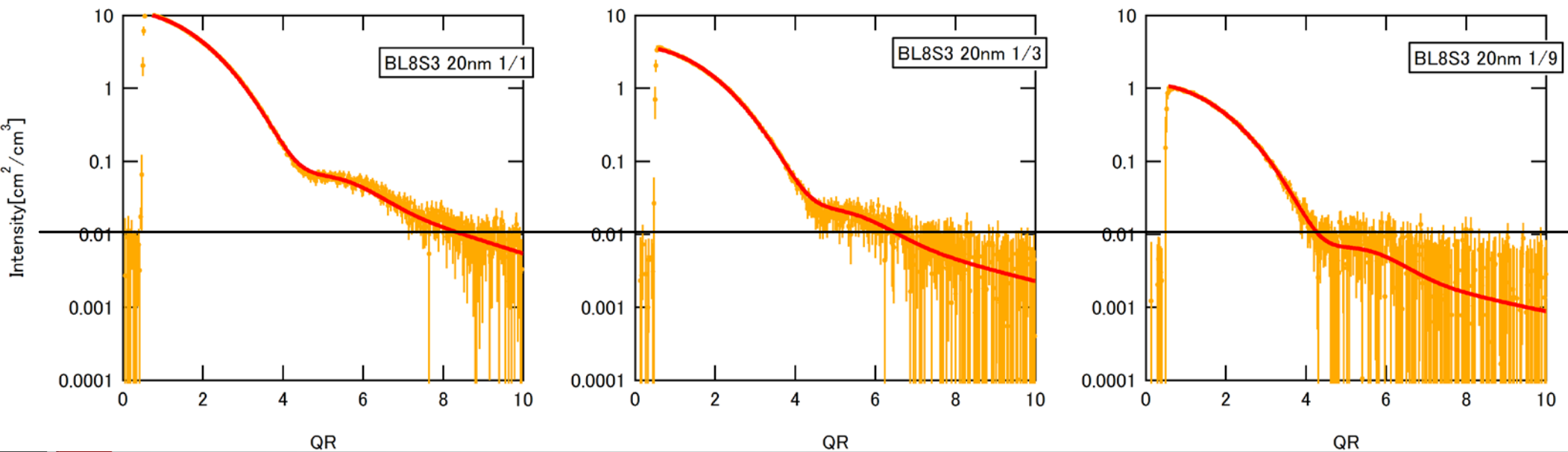
$$I(q) \propto N(\Delta\rho)^2 V^2$$

検出下限値

1個の球状粒子からの理論散乱強度
$$I(q) = \left(\frac{3 \sin qR - 3qR \cos qR}{(qR)^3} \right)^2$$

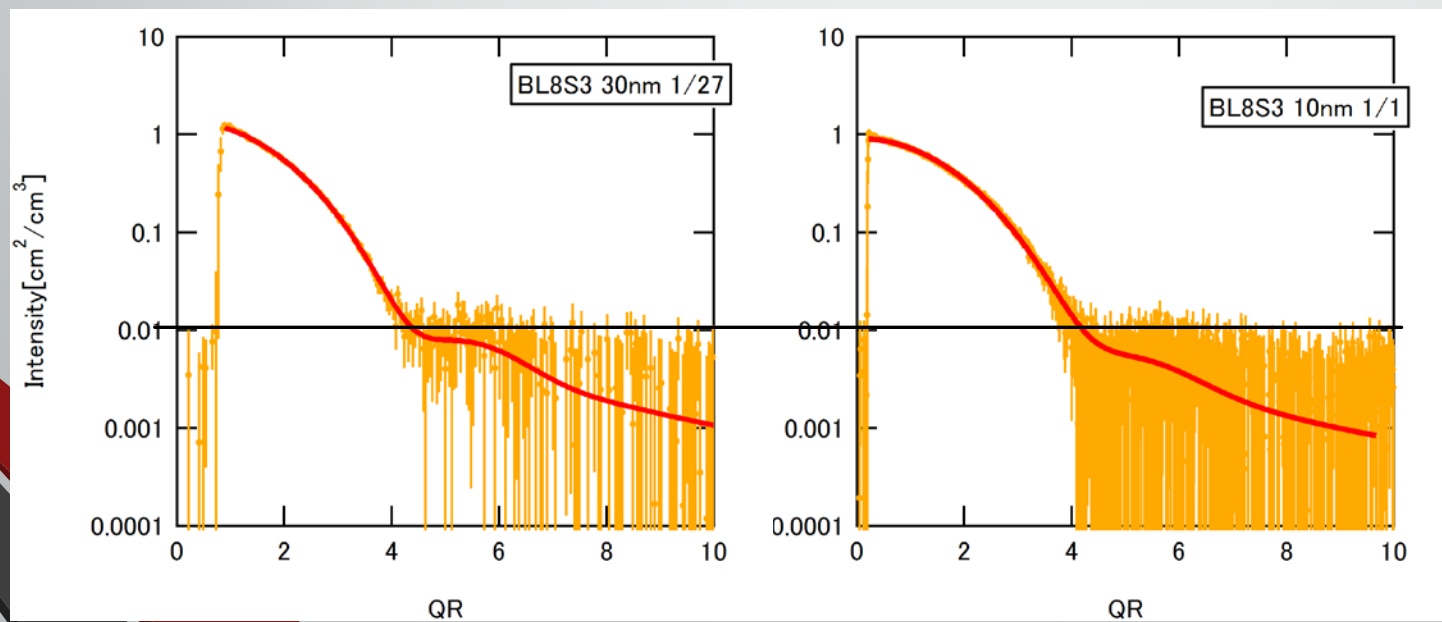
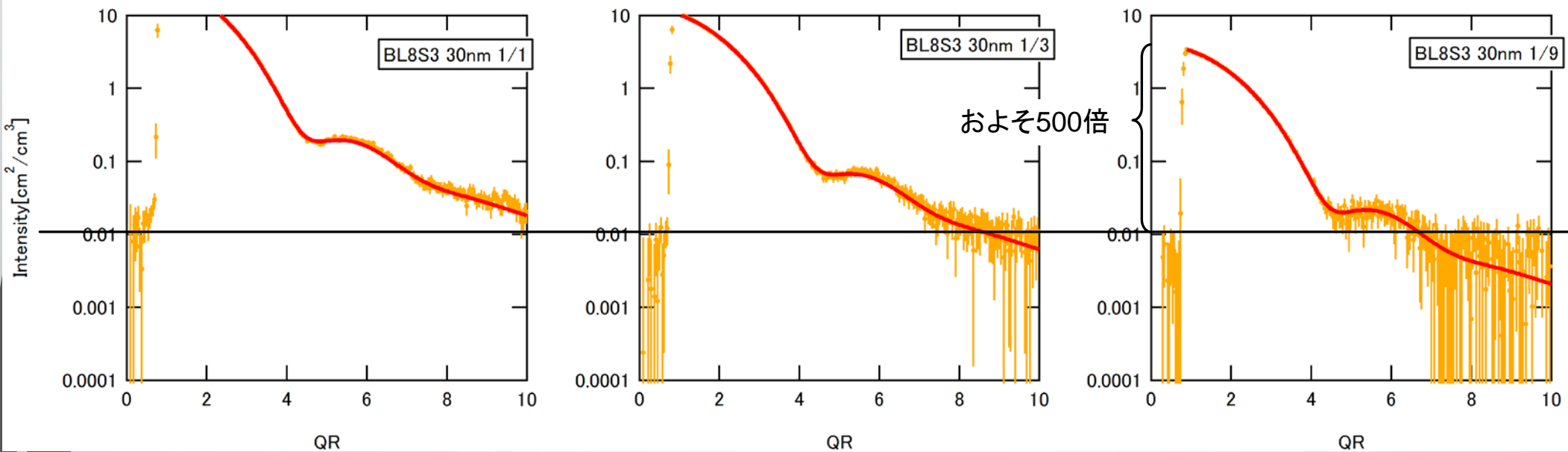
たとえ分布のある粒子でも qR の関数であるため、横軸を qR とした

BL8S₃ SAXS

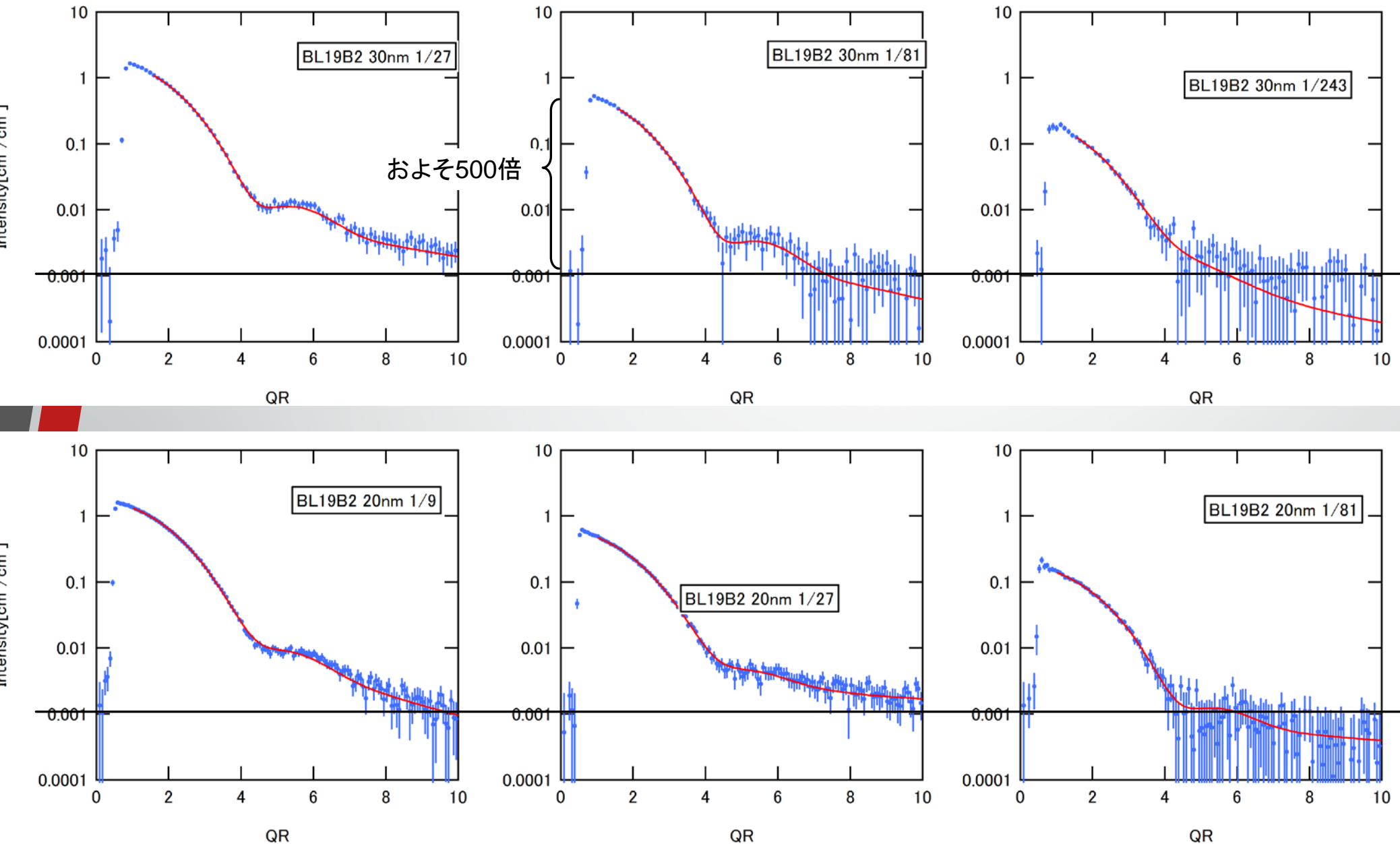


検出下限値

BL8S3 SAXS



BL19B2 SAXS



分布を決めるには、 $qR=7$ 程度まで検出下限値を下回らないことが必要

まとめ

- 波数分解能はBL8S3、BL19B2(SAXS)で大きな差はない
- 5 nmを除き、どちらのビームラインでも希釈前の原液は解析可能
- 分布まで解析する場合、 $qR=7$ 程度まで測定できる必要がある
- 検出下限値は絶対強度換算でBL8S3が $0.01 \text{ cm}^2/\text{cm}^3$ 、BL19B2が $0.001 \text{ cm}^2/\text{cm}^3$ 程度
- 今回の場合、 $I(q=0)$ が検出下限値の500倍あれば、分布測定が可能



およその粒子サイズがわかっているならば、必要な濃度・カメラ長が概算できる

例) 40 nmの金粒子

粒子サイズと散乱強度の関係から、 $I(q=0)/C = 6.1 \times 10^7$

$I(q=0) > 5$ より、 $C > 8.2 \times 10^{-8}$ (BL8S3の場合)

$qR=7$ より、 $q=0.35 \text{ nm}^{-1}$

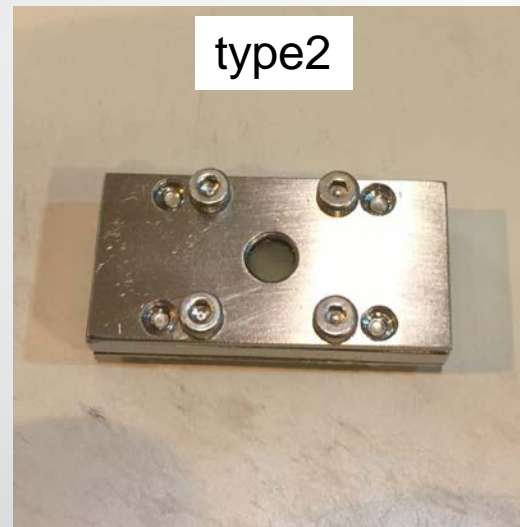
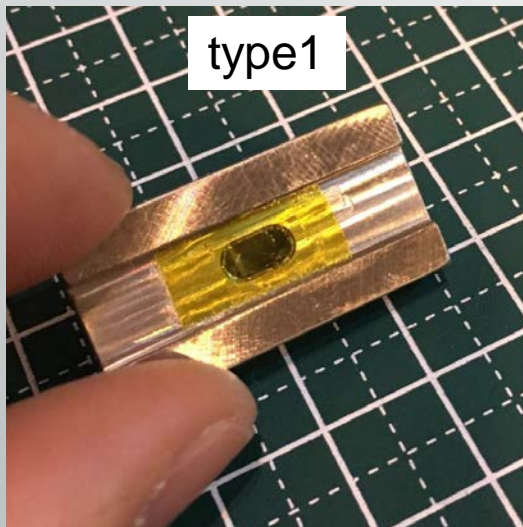
Guinierプロットをする場合は $qR < 1$ が必要なので、 $q < 0.05 \text{ nm}^{-1}$ の測定も必要

金ではない場合においても、散乱強度が $\Delta\rho^2$ に比例することを使えば適用できる

溶液セルの共通化

現状

- ・ BL19B2 . . . キャピラリーのみ
- ・ BL8S3 . . . キャピラリー or 溶液セル（専用のホルダが必要）



アダプターを介した自動測定
(BL19B2, BL8S3)



専用ホルダによるバッチ測定 (BL8S3)

溶液試料の測定代行の実施を可能にする
現在、BL19B2にて試験運用中

謝辞

今回の施設横断測定は光ビームプラットフォーム事業により行いました。
関係者の方々には大変お世話になりました。この場を借りてお礼申し上げます。

高輝度光科学研究センター
産業利用推進室 廣沢一郎 様
佐藤眞直 様
大坂恵一 様

高エネルギー加速器研究機構
物質構造科学研究所 伴 弘司 様

名古屋大学
シンクロトロン光研究センター 杉本泰伸 様